

## تحلیل جریان لغزشی کوئت-پوازیه بین دو صفحه موازی حاوی محیط متخلخل با شار گرمای ثابت دیوار از دید قانون اول و دوم ترمودینامیک

مرتضی یاری<sup>۱</sup> و فربدون مولانی<sup>۲\*</sup>

دانشکده فنی

دانشگاه حقوق اردبیلی

(تاریخ دریافت: ۸۹/۰۷/۰۵؛ تاریخ پذیرش: ۹۰/۰۳/۲۷)

**چکیده**

در این مقاله، انتقال حرارت جابه‌جایی و تحلیل آنتروپی یک جریان کوئت-پوازیه بین دو صفحه موازی حاوی محیط متخلخل با شرط لغزش، پرش دمایی، اتلاف لزجتی و شار گرمای ثابت دیوار به کمک روش تحلیل موردنی بررسی قرار گرفته است. معادله مومنتوم و معادله انرژی به کمک روش تحلیلی در سه وضعیت مختلف صفحه بالایی کانال  $-1 = \bar{V} = 0 = \bar{V}$  حل شده است. عبارت‌های صریحی برای توزیع سرعت و دما به دست آمده و عدد ناسلت با استفاده از روش انترگال‌گیری عددی تعیین شده است. به طور کلی مشاهده شده که با افزایش عدد بینکمن و کاهش عدد نادسن، عدد ناسلت افزایش یافته است. وضعیت صفحه بالایی کانال در تعیین تأثیر پارامتر شکل محیط متخلخل بر عدد ناسلت تعیین کننده است. پس از تعیین پروفیل سرعت و دما، به تحلیل آنتروپی در این سیستم پرداخته شده است. با تعیین عدد بدون بعد تولید آنتروپی و رسم منحنی‌های آن، مشاهده شده که با افزایش نسبت  $\Omega/\text{Br}$  و پارامتر شکل محیط متخلخل تولید آنتروپی افزایش یافته است. با تعریف عدد بیجان و رسم نمودارهای مربوط به آن، مشاهده شده که با کاهش نسبت  $\Omega/\text{Br}$  و افزایش پارامتر شکل محیط متخلخل، عدد بیجان افزایش می‌یابد. وضعیت صفحه بالایی کانال در تعیین پروفیل توزیع تولید آنتروپی و عدد بیجان تعیین کننده است. به طور کلی با افزایش عدد نادسن، عدد بی بعد تولید آنتروپی کاهش و عدد بیجان افزایش یافته است.

**واژه‌های کلیدی:** محیط متخلخل، عدد ناسلت، تولید آنتروپی، لغزش، پرش دمایی، عدد بیجان

## Analysis of the Couette-Poiseuille Slip-Flow Between two-Parallel Plate Containing Porous Media with Constant Wall Heat Flux from the First and Second Law of Thermodynamics

M. Yari and F. Meulany

Faculty of Eng.

Univ. of Mohaghegh Ardabili

(Received: 27 September, 2010; Accepted: 17 June, 2011)

### ABSTRACT

In this paper, heat transfer and entropy analysis are carried out for Couette-Poiseuille flow between two parallel plates containing porous media, considering the viscous effect and constant heat flux at the walls. The considered flow is with a temperature jump and slip. The momentum and energy equations are solved analytically. The solution was performed at three situations of channel upper plate movement ( $\bar{V} = 0, \bar{V} = 1, \bar{V} = -1$ ). Explicit expressions are obtained for velocity and temperature distributions and Nusselt number has been calculated through numerical integration. The results show that, as the Brinkman number increases and Knudsen number decreases the Nusselt number increases. However, the upper plate situation is a determinant factor in establishing the effect of porous media shape parameter on the Nusselt number. It was observed that, as the ratio ( $\text{Br}/\Omega$ ) and the porous media shape parameter increase the entropy generation increases. In addition, decreasing ( $\text{Br}/\Omega$ ) and increasing S results in an increase of Be number. Moreover, with increasing Kn number, the non-dimensional entropy generation number decreases and Be number increases.

**Keywords:** Porous Media, Nusselt Number, Entropy Generation, Slip, Temperature Jump, Bejan Number

۱- دانشیار (نویسنده پا سخنگو): myari@uma.ac.ir

۲- کارشناسی ارشد: ferydon.meulany@gmail.com

فهرست علائم	
زیرنویس	$m^2$
$m$	مساحت، عدد بیجان
$s$	متوسط عدد برینکمن
$w$	خصوصیات سیال روی دیوار گرمای ویژه در فشار ثابت، $\text{kJ/kg K}$
- مقدمه	
بررسی جریان کوئت-پوازیه بین دو صفحه موازی حاوی محیط متخلخل با شار گرمای ثابت دیوار یکی از مسائل کلاسیک در محیط متخلخل بهشمار می‌رود. با مطرح شدن شرط لغزش، پوش دمایی و اتلاف لزجتی <sup>۱</sup> عدد بدون بعد نادسن و عدد بدون بعد برینکمن در روابط ظاهر می‌شوند. روابط حاکم بر جریان سیال و انتقال حرارت در محیط‌های متخلخل به صورت مبسوط توسط وفایی [۱] ارائه شده است.	A Be Br $C_p$ Da G H K $k_m$ Kn M $N_H$ $N_F$ $N_s$ $N_{s,av}$ Nu P Pr $q_w$ S T U V
بررسی جریان کوئت-پوازیه بین دو صفحه موازی حاوی محیط متخلخل که با گاز ایده‌آل پر شده است را به صورت تحلیلی بررسی کرده‌اند. هومان <sup>۲</sup> [۲] جریان جابه‌جایی اجباری توسعه یافته در میکروکانال مستطیلی در دو حالت با محیط متخلخل و بدون محیط متخلخل را پردازی سریه فوريه تحلیل کرده است. هاشمی و همکاران [۴] جریان جابه‌جایی اجباری توسعه یافته در میکروکانال حلقوی حاوی محیط متخلخل را به کمک حل تحلیلی بررسی کرده‌اند. در بررسی دیگر، هومان <sup>۳</sup> [۵] انتقال حرارت جابه‌جایی اجباری بین دو صفحه موازی حاوی محیط متخلخل با شار گرمای ثابت دیوار را به دو صورت تحلیلی و عددی مورد بررسی قرار داده است. با تعیین پروفیل سرعت و دما می‌توان قانون دوم را برای جریان سیال به منظور تحلیل آنتروپی به کار گرفت. محمود <sup>۴</sup> و همکاران [۶] به بررسی قانون دوم در مسائل کلاسیک انتقال حرارت جابه‌جایی پرداخته و روابط مربوط به تولید آنتروپی و عدد بیجان را در این مسائل بیان کرده‌اند. یاری [۷] تولید آنتروپی در جریان کوئت-پوازیه در میکروکانال با صفحات	منفی تغییر فشار، $\text{Pa/m}$ نصف پهنه‌ای کانال، $\text{m}$ نفوذپذیری رسانندگی گرمایی در محیط متخلخل، $\text{W/mK}$ عدد نادسن نسبت لزجت عدد تولید آنتروپی ناشی از انتقال حرارت عدد تولید آنتروپی ناشی از اصطکاک جریان سیال عدد تولید آنتروپی کل عدد تولید آنتروپی متوسط عدد ناسلت محیط گرم شده، $\text{m}$ عدد پرانتل شار گرمای دیوار، $\text{W/m}^2$ پارامتر شکل محیط متخلخل دما، $\text{K}$ سرعت، $\text{m/s}$ سرعت صفحه بالای کانال، $\text{m/s}$
علائم یونانی	
	کار لزجت (رابطه (۱۱))
$\phi$	نسبت گرمای ویژه
$\gamma$	متوسط فاصله آزاد مولکولی
$\lambda$	لزجت دینامیکی، $\text{Pa.s}$
$\mu$	لزجت مؤثر در معادله ممنتوم
$\tilde{\mu}$	دماهی بی بعد
$\theta$	$\text{kg/m}^3$
$\rho$	چگالی، اختلاف دماهی بی بعد
$\Omega$	

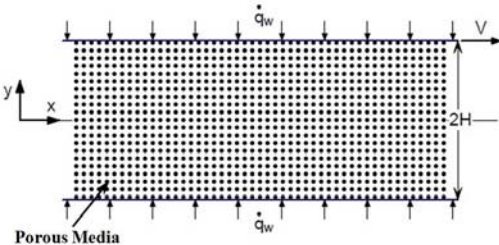
1- Viscous Dissipation

2- Nield

3- Hooman

4- Mahmud

$$\rho \left( u \frac{\partial v}{\partial x} + v \frac{\partial v}{\partial y} \right) = - \frac{\partial p}{\partial y} + \tilde{\mu} \left( \frac{\partial^2 v}{\partial x^2} + \frac{\partial^2 v}{\partial y^2} \right) - \frac{\mu}{K} v. \quad (5)$$



شکل (۱): شماتیک از جریان کوئت-پوازیه با شار گرمای ثابت دیوار.

برای جریان توسعه یافته هیدرودینامیکی پایا بین دو صفحه موازی همان طور که در شکل ۱ نشان داده شده جهت جریان در جهت محور  $x$  است، بنابراین  $0 = v$  و از معادله پیوستگی  $0 = \frac{\partial u}{\partial x}$  می‌باشد. همچنین رابطه (۵) نشان می‌دهد که توزیع فشار در جهت محور  $y$  هیدرودینامیکی می‌باشد. براساس مطلب ذکر شده و با درنظر گرفتن  $G$  به عنوان منفی تغییر فشار در جهت محور  $x$  می‌توان معادله مومنتوم را به صورت زیر بیان کرد:

$$G = \frac{\mu u}{K} - \tilde{\mu} \left( \frac{\partial^2 u}{\partial y^2} \right). \quad (6)$$

نسبت لزجت ( $M$ )، عدد دارسی ( $Da$ ) و پارامتر شکل محیط متخلخل ( $S$ ) سه پارامتر مطرح در محیط متخلخل می‌باشند، که در زیر تعریف شده‌اند [۴]. لازم به ذکر است که تعریف پارامترهای اخیر و بیان هندسه محیط متخلخل به صورت مبسوط توسط و فایی [۱] ارائه شده و در کار حاضر از تکرار آن خودداری می‌شود.

$$M = \frac{\tilde{\mu}}{\mu}, Da = \frac{K}{H^2}, S = \sqrt{\frac{1}{MDa}}. \quad (7)$$

با توجه به هندسه مسئله عدد نادسن و برینکمن به صورت زیر تعریف می‌شود [۷]:

$$Kn = \frac{\lambda}{2H}, Br = \frac{\mu u_m^2 H}{2q_w K}. \quad (8)$$

پارامترهای بی بعد مناسب مسئله در زیر بیان شده است:

$$Y = \frac{y}{H}, \bar{u} = \frac{u}{u_m}, \bar{V} = \frac{V}{u_m}. \quad (9)$$

موازی و شار گرمای ثابت دیوار را مورد بررسی قرار داده است. محمود و همکاران [۸] انتقال حرارت جابه‌جاوی و تولید آنتروپی را در جریان توسعه یافته بین دو صفحه موازی حاوی محیط متخلخل با دمای ثابت دیوار، به هر دو صورت عددی و تحلیلی بررسی کرده‌اند.

با توجه به مقالات موجود، در زمینه انتقال حرارت جابه‌جاوی و تحلیل آنتروپی در میکروکانال حاوی محیط متخلخل یک جریان کوئت-پوازیه بین دو صفحه موازی با شار گرمای ثابت دیوار تا اکنون کاری انجام نگرفته است. اهمیت کار حاضر در این است که شرط لغزش، پرش دمایی و اتلاف لزجتی سیال را در حل تحلیلی در نظر می‌گیرد.

## ۲- معادلات حاکم

در این بررسی جریان بین دو صفحه موازی حاوی محیط متخلخل همگن با شار گرمای ثابت دیوار را آرام، پایا، تراکم‌ناپذیر، دوبعدی و از نظر هیدرودینامیکی و گرمای توسعه یافته، با خواص مستقل از دما در نظر بگیرید. اتلاف لزجتی سیال در معادله انرژی وارد می‌شود. شکل ۱ شماتیک مسئله مورد نظر را نشان می‌دهد. با توجه به هندسه، شرایط مرزی لغزشی و پرش دما به صورت زیر است [۷]:

$$y = -H \quad u = \lambda \frac{\partial u}{\partial y} \Big|_{y=-H}, \quad (1)$$

$$y = H \quad u = V - \lambda \frac{\partial u}{\partial y} \Big|_{y=H}, \quad (2)$$

$$T_s - T_w = - \frac{2\gamma}{1+\gamma} \Pr \frac{\partial T}{\partial y} \Big|_{y=wall}. \quad (3)$$

## ۲- تحلیل هیدرودینامیکی

در تحلیل هیدرودینامیکی جریان آرام، پایا، تراکم‌ناپذیر، دوبعدی و توسعه یافته هیدرودینامیکی بین دو صفحه موازی در محیط متخلخل می‌توان معادلات پیوستگی و مومنتوم حاکم را به صورت زیر بیان کرد:

$$\frac{\partial u}{\partial x} + \frac{\partial v}{\partial y} = 0, \quad (4)$$

$$\rho \left( u \frac{\partial v}{\partial x} + v \frac{\partial v}{\partial y} \right) = - \frac{\partial p}{\partial x} + \tilde{\mu} \left( \frac{\partial^2 u}{\partial x^2} + \frac{\partial^2 v}{\partial y^2} \right) - \frac{\mu}{K} u, \quad (5)$$

با اعمال قانون اول ترمودینامیک در یک حجم محدود از سیستم مورد مطالعه با توجه به هomon [۱۰] می‌توان نوشت:

$$\frac{dT_m}{dx} = \left( q_w P + \int \phi dA \right) / \dot{m} C_p . \quad (16)$$

دماه بی بعد مناسب به صورت زیر تعریف می‌شود [۷]:

$$\theta = \frac{T - T_s}{q_w H / k_m} . \quad (17)$$

با جایگذاری عبارت‌های اخیر در معادله انرژی و حل دقیق آن پروفیل دماه بی بعد جریان کوت-پوازیه در محیط متخلخل به صورت زیر حاصل می‌شود:

$$\begin{aligned} \theta = & \frac{a_0}{f_3 f_5} \left[ \frac{f_7}{S^2} e^{SY} - \frac{f_8}{S^2} e^{-SY} + \frac{f_3 f_6}{2} Y^2 - a_1 Y \right. \\ & \left. - a_3 \right] - 2Br \left( \frac{1}{f_3 f_5} \right)^2 \left[ \frac{f_7^2}{4S^2} e^{2SY} + \frac{f_8^2}{4S^2} e^{-2SY} \right. \\ & \left. + \frac{2f_3 f_6}{S^2} (f_7 e^{SY} - f_8 e^{-SY}) + \right. \\ & \left. ((f_3 f_6)^2 - 2f_7 f_8) \frac{Y^2}{2} - a_2 Y - a_4 \right]. \end{aligned} \quad (18)$$

ضرایب  $a_i$  رابطه اخیر در زیر ارائه شده است:

$$\begin{aligned} a_0 &= \left\{ P + 2Br \left( \frac{1}{f_3 f_5} \right)^2 \left[ \frac{\sinh(2S)}{S} (f_7^2 + f_8^2) \right. \right. \\ &\quad \left. \left. + 4 \frac{\sinh(S)}{S} f_3 f_6 (f_7 - f_8) + \right. \right. \\ &\quad \left. \left. 2((f_3 f_6)^2 - 2f_7 f_8) \right] \right\} / 2 , \\ a_1 &= \frac{\sinh(S)}{S^2} (f_7 + f_8) , \\ a_2 &= \frac{\sinh(2S)}{4S^2} (f_7^2 - f_8^2) \\ &\quad + 2 \frac{\sinh(S)}{S^2} f_3 f_6 (f_7 + f_8) , \\ a_3 &= \frac{\cosh(S)}{S^2} (f_7 - f_8) + \frac{f_3 f_6}{2} , \\ a_4 &= \frac{\cosh(2S)}{4S^2} (f_7^2 + f_8^2) \\ &\quad + 2 \frac{\cosh(S)}{S^2} f_3 f_6 (f_7 - f_8) \\ &\quad + ((f_3 f_6)^2 - 2f_7 f_8) / 2 . \end{aligned} \quad (19)$$

با توجه به یاری [۷] شرط مرزی پرش دماه به صورت زیر اعمال می‌شود:

$$\theta_s - \theta_w = - \frac{4\gamma}{1+\gamma} \frac{Kn}{Pr} , \quad (20)$$

$$\theta^* = \theta - \frac{4\gamma}{1+\gamma} \frac{Kn}{Pr} . \quad (21)$$

با حل دقیق معادله دیفرانسیل مرتبه دوم خطی غیر همگن مومنتم، پروفیل سرعت بی بعد جریان کوت-پوازیه در محیط متخلخل به صورت زیر به دست می‌آید:

$$\bar{u} = \frac{1}{f_3 f_5} [f_7 e^{SY} - f_8 e^{-SY} + f_3 f_6] . \quad (10)$$

ضرایب  $f_i$  رابطه اخیر در زیر آورده شده است:

$$\begin{aligned} f_1 &= (1 + 2KnS) e^S , \\ f_2 &= (1 - 2KnS) e^{-S} , \\ f_3 &= f_1^2 - f_2^2 , \\ f_4 &= \frac{\sinh(S)}{S f_3} , \\ f_5 &= 2f_4(f_2 - f_1) + 1 , \\ f_6 &= 1 - \bar{V} f_4(f_1 - f_2) , \\ f_7 &= (\bar{V} f_5 - f_6) f_1 + f_6 f_2 , \\ f_8 &= (\bar{V} f_5 - f_6) f_2 + f_6 f_1 . \end{aligned} \quad (11)$$

## ۲-۲- تحلیل قانون اول

معادله انرژی در محیط متخلخل برای جریان آرام، پایا، تراکم‌ناپذیر و دوبعدی بین دو صفحه موازی با درنظر گرفتن اتفاق لزجتی سیال به صورت زیر بیان می‌شود:

$$u \frac{\partial T}{\partial x} + v \frac{\partial T}{\partial y} = \frac{K_m}{\rho C_p} \left( \frac{\partial^2 T}{\partial x^2} + \frac{\partial^2 T}{\partial y^2} \right) + \frac{1}{\rho C_p} \phi . \quad (12)$$

در رابطه اخیر،  $\phi$  اتفاق ناشی از لزجت سیال است و از رابطه زیر قابل محاسبه است [۲ و ۸-۹]:

$$\phi = \frac{\mu}{K} (u^2 + v^2) . \quad (13)$$

با درنظر گرفتن فرض‌های که در حل معادله مومنتم مورد استفاده قرار گرفتند، می‌توان معادله انرژی را به صورت زیر بیان کرد:

$$u \frac{\partial T}{\partial x} = \frac{K_m}{\rho C_p} \frac{\partial^2 T}{\partial y^2} + \frac{\mu}{\rho C_p K} u^2 . \quad (14)$$

برای حل معادله انرژی ابتدا باید عبارت مربوط به دیفرانسیل دما در امتداد جریان مشخص شود. یاری [۷] برای جریان توسعه یافته با شار گرمای یکنواخت دیوار این عبارت را به صورت زیر بیان کرده است:

$$\frac{\partial T}{\partial x} = \frac{dT_w}{dx} = \frac{dT_m}{dx} . \quad (15)$$

عدد تولید آنتروپی متوسط در یک سطح مقطع را می‌توان از رابطه زیر به دست آوردن:

$$N_{s,av} = \frac{\int N_s dA}{A} = \frac{\int N_s H dY}{2H} = 0.5 \int_{-1}^1 N_s dY . \quad (26)$$

لازم به توضیح است که، محاسبه دمای متوسط بی بعد و عدد تولید آنتروپی متوسط از رابطه های (۲۲) و (۲۶) با روش های انگرال گیری عددی ممکن است و به این منظور از نرم افزار EES استفاده شده است.

### ۳- نتایج

در این بررسی، انتقال حرارت جابه جایی و تحلیل آنتروپی یک جریان کوئت- پوازیه بین دو صفحه موازی حاوی محیط متخلخل با شرط لغزش، پرش دمایی و شار گرمایی ثابت دیوار با درنظر گرفتن اثر اتلاف ناشی از لزجت سیال مورد مطالعه قرار گرفته است. با توجه به شکل ۱ می‌توان سه وضعیت متفاوت را برای صفحه بالایی کانال درنظر گرفت:

- ساکن ( $\bar{V} = 0$ ).
- حرکت در جهت محور  $x$  ( $\bar{V} = 1$ ) و
- حرکت در خلاف جهت محور  $x$  ( $\bar{V} = -1$ ).

در تحلیل قانون اول تأثیرپذیری عدد ناسلت از عدد نادسن ( $Kn$ )، عدد برینکمن ( $Br$ ) و پارامتر شکل محیط متخلخل ( $S$ ) در شرایط مختلف مورد بررسی قرار گرفته است. عدد برینکمن ناشی از اتلاف لزجتی سیال می باشد، عدد نادسن نیز نقش شرط مرزی لغزش و پرش دمایی را نشان می دهد. تغییرات عدد ناسلت بر حسب عدد نادسن به ازای مقادیر مختلف عدد برینکمن و پارامتر شکل محیط متخلخل در شکل های ۲ تا ۷ آورده شده است. با توجه به منحنی های عدد ناسلت مشاهده می شود که در همه مقادیر  $\bar{V}$  و  $S$  با افزایش  $Br$  عدد ناسلت افزایش می یابد، که این امر ناشی از وجود لزجت سیال است. این نکته در مورد بررسی محمود و همکاران [۸] نیز صدق می کند. با توجه به شکل های ۲ تا ۵ هنگامی که  $\bar{V} = 0$  یا  $\bar{V} = 1$  باشد، در مقادیر مختلف  $S$  با افزایش عدد نادسن، به علت کاهش اصطکاک جریان سیال عدد ناسلت کاهش می یابد. افزایش  $S$  نیز باعث کاهش عدد ناسلت می شود.

دمای متوسط بی بعد از رابطه زیر به دست می آید:

$$T_m = \frac{\int \rho u T dA}{\int \rho u dA} \xrightarrow{(7),(14),(18)} \theta_m^* = \frac{1}{2} \int_{-1}^1 \theta^* \bar{u} dY . \quad (22)$$

با توجه به نیلد [۲] و هومن [۵] عدد ناسلت به صورت زیر تعریف می شود:

$$Nu = \frac{q_w 2H}{K_m(T_w - T_m)} = - \frac{2}{\theta_m^*} . \quad (23)$$

برای ارزیابی درستی نتایج روابط کار حاضر، عدد ناسلت را برای چند مقدار مختلف  $S$  در شرایط مشابه با رابطه (۴.۱۰۲) و فایی [۱] ( $Kn = 0, Br = 0, V = 0$ ) و هومن [۵] به دست آورده و در جدول ۱ رایه شده است. مقایسه این نتایج درستی کار حاضر را نشان می دهد.

جدول (۱): مقایسه عدد ناسلت به ازای مقادیر مختلف از  $S$ .

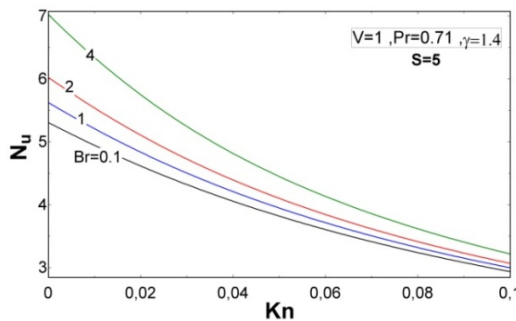
S	کار حاضر وفایی [۱]	همون [۵]	
		تحلیلی	عددی
۰/۱	۴/۱۱۸	۴/۱۱۸	-
۱/۰	۴/۱۵۹	۴/۱۵۹	۴/۱۵۸
۱۰/۰	۵/۱۲۹	۵/۱۲۹	۴/۸۰۰
۲۰/۰	۵/۴۹۲	۵/۴۲۹	-

### ۳- تحلیل قانون دوم

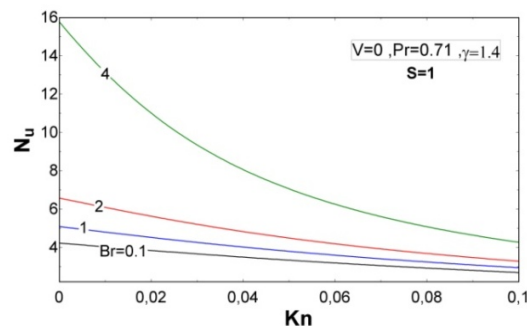
آنتروپی در اثر وجود بازگشت ناپذیری در یک فرآیند یا سیستم تولید می شود. انتقال حرارت جابه جایی فرآیندی بازگشت ناپذیر است، هر دو عامل اصطکاک سیال و انتقال حرارت در تولید آنتروپی نقش دارند. برای بیان پروفیل تولید آنتروپی از عدد تولید آنتروپی ( $N_s$ ) استفاده می شود. عدد تولید آنتروپی کل آنتروپی تولید شده را نشان می دهد. با تعریف عدد بیجان و رسم آن نسبت سهم تولید آنتروپی ناشی از انتقال حرارت مشخص می شود. محمود و همکاران [۸] عدد تولید آنتروپی و عدد بیجان در محیط متخلخل را به صورت زیر بیان کرده اند:

$$N_s = N_H + N_F = \left( \frac{\partial \theta^*}{\partial Y} \right)^2 + \frac{2Br}{\Omega} \left( \frac{\partial \bar{u}}{\partial Y} \right)^2 , \quad (24)$$

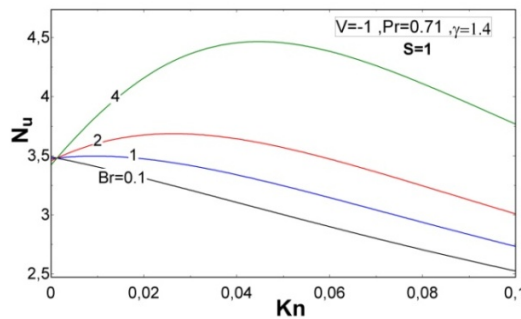
$$Be = \frac{N_H}{N_H + N_F} . \quad (25)$$



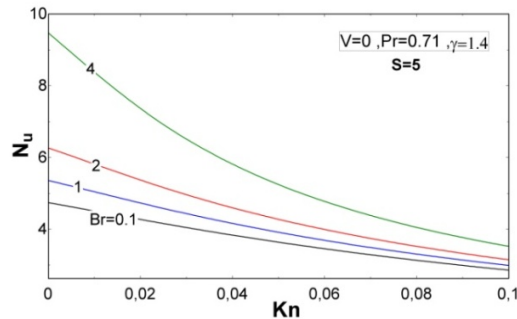
شکل (۵): عدد ناسلت بر حسب عدد نادسن در  $Br$  مختلف و  $S = 5, V = 1$



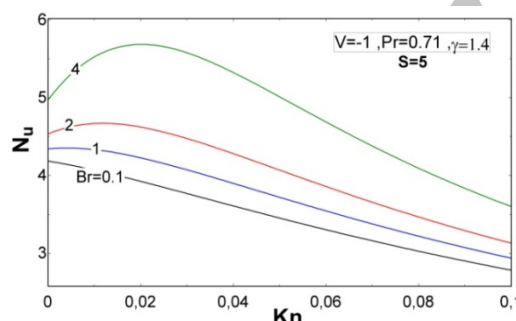
شکل (۲): عدد ناسلت بر حسب عدد نادسن در  $Br$  مختلف و  $S = 1, V = 0$



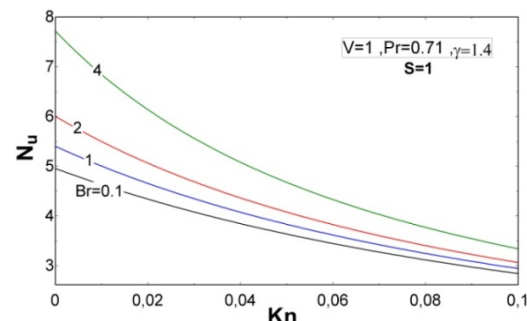
شکل (۶): عدد ناسلت بر حسب عدد نادسن در  $Br$  مختلف و  $S = 1, V = -1$



شکل (۳): عدد ناسلت بر حسب عدد نادسن در  $Br$  مختلف و  $S = 5, V = 0$



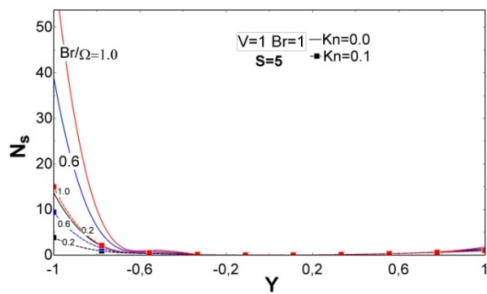
شکل (۷): عدد ناسلت بر حسب عدد نادسن در  $Br$  مختلف و  $S = 5, V = -1$



شکل (۴): عدد ناسلت بر حسب عدد نادسن در  $Br$  مختلف و  $S = 1, V = 1$

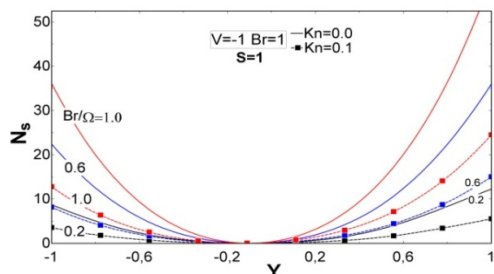
می‌توان گفت که به طور متوسط، در مقادیر  $Kn$  مختلف هنگامی که صفحه بالایی کانال ساکن است، عدد ناسلت بزرگ‌تر از حالتی است که این صفحه متحرك باشد. اما در حالتی که صفحه بالایی کانال دارای حرکت در خلاف جهت

با توجه به شکل‌های ۶ و ۷ هنگامی که  $\bar{V} = -1$  باشد، در مقادیر مختلف  $S$  به ازای  $Br$  بزرگ مقدار بهینه‌ای برای عدد نادسن وجود دارد که به ازای آن عدد ناسلت بیشینه است. با افزایش  $S$  عدد ناسلت افزایش می‌یابد. با توجه به نتایج



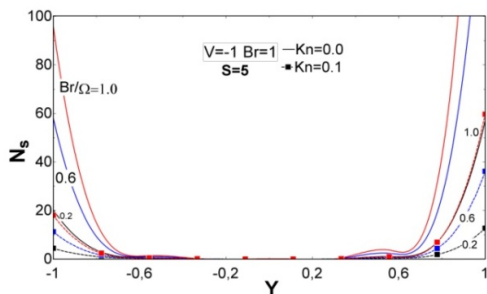
شکل (۱۱): عدد تولید آنتروپی بر حسب  $Y$  در  $Br/\Omega, Kn$

$$. S = 5, Br = 1, \bar{V} = 1$$



شکل (۱۲): عدد تولید آنتروپی بر حسب  $Y$  در  $Br/\Omega, Kn$

$$. S = 1, Br = 1, \bar{V} = -1$$



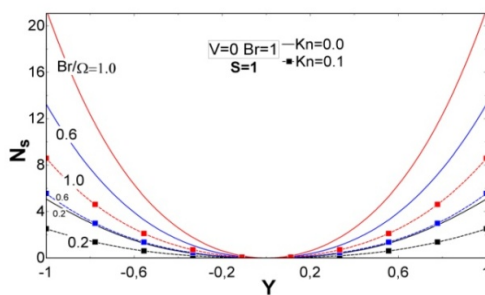
شکل (۱۳): عدد تولید آنتروپی بر حسب  $Y$  در  $Br/\Omega, Kn$

$$. S = 5, Br = 1, \bar{V} = -1$$

با افزایش نسبت  $Br/\Omega$  در اثر وجود اتلاف ناشی از لزجت سیال تولید آنتروپی افزایش می‌یابد، در حالی که با افزایش  $Kn$  به علت کاهش اصطکاک جریان سیال تولید آنتروپی کاهش می‌یابد. همچنین افزایش  $S$  موجب وقوع گرادیان سرعت و دما در یک ناحیه نازک مجاور دیوارهای کanal می‌شود که این امر بیشینه شدن تولید آنتروپی در مجاورت دیوارهای کanal را به دنبال دارد. بنابراین، توزیع تولید

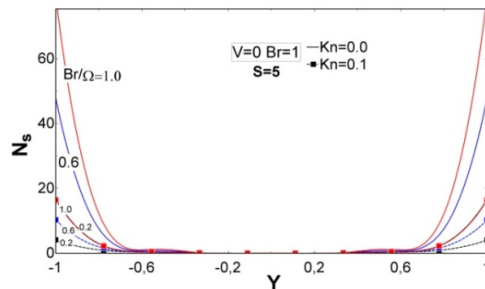
محور  $x$  ( $\bar{V} = -1$ ) است، برای عدد ناسلت مقدار بزرگتری حاصل می‌شود.

با تحلیل قانون دوم، سهم انتقال حرارت و اصطکاک جریان سیال در تولید آنتروپی مورد مطالعه قرار گرفته است. در هر سه وضعیت صفحه بالایی کanal اثر نسبت  $Br/\Omega$  بر پروفیل عدد تولید آنتروپی در مقادیر مختلف  $Kn$  و پارامتر شکل محیط متخلخل در شکل‌های ۸-۱۳ آورده شده است.



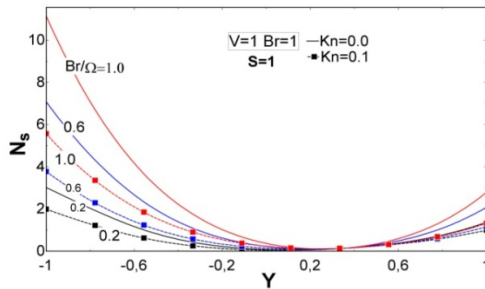
شکل (۸): عدد تولید آنتروپی بر حسب  $Y$  در  $Br/\Omega, Kn$

$$. S = 1, Br = 1, \bar{V} = 0$$



شکل (۹): عدد تولید آنتروپی بر حسب  $Y$  در  $Br/\Omega, Kn$

$$. S = 5, Br = 1, \bar{V} = 0$$

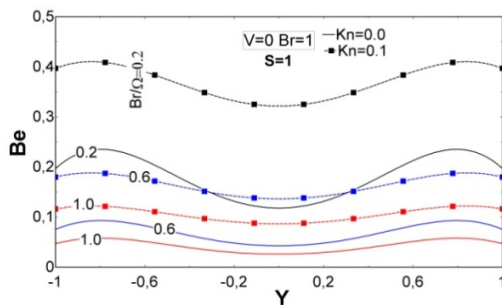


شکل (۱۰): عدد تولید آنتروپی بر حسب  $Y$  در  $Br/\Omega, Kn$

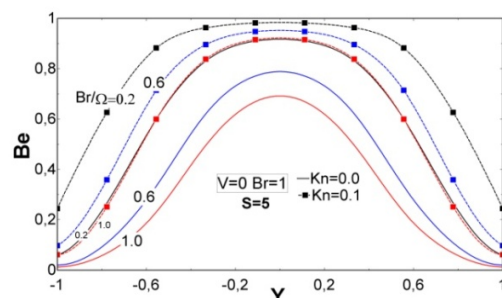
$$. S = 1, Br = 1, \bar{V} = 1$$

عدد بیجان در ارتفاع کanal در وضعیت‌های مختلف صفحه بالای کanal، متفاوت است و با استدلالی مشابه آنچه که برای تولید آنتروپی در هر سه حالت صفحه بالای کanal بیان شد، قابل توجیه است.

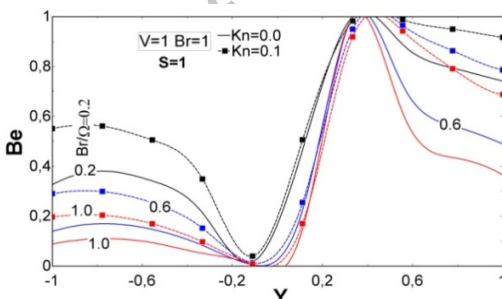
در نمودارهای عدد بیجان، با افزایش  $S$  مقدار کمینه نسبی منحنی عدد بیجان افزایش می‌یابد، زیرا افزایش  $S$  موجب مسطح شدن پروفیل سرعت در کanal شده و گرادیان سرعت فقط در یک ناحیه باریک مجاور دیواره اتفاق می‌افتد.



شکل (۱۴): عدد بیجان بر حسب  $Y$  در  $\Omega/\Omega$  مختلف و  $S = 1$ ,  $Br = 1$ ,  $\bar{V} = 0$ .



شکل (۱۵): عدد بیجان بر حسب  $Y$  در  $\Omega/\Omega$  مختلف و  $S = 5$ ,  $Br = 1$ ,  $\bar{V} = 0$ .

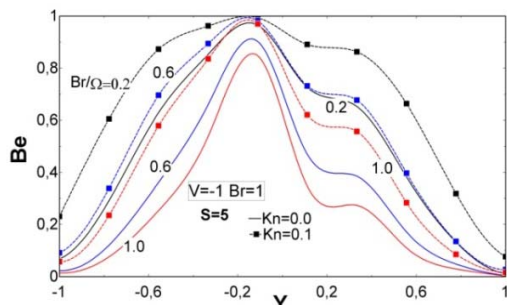


شکل (۱۶): عدد بیجان بر حسب  $Y$  در  $\Omega/\Omega$  مختلف و  $S = 1$ ,  $Br = 1$ ,  $\bar{V} = 1$ .

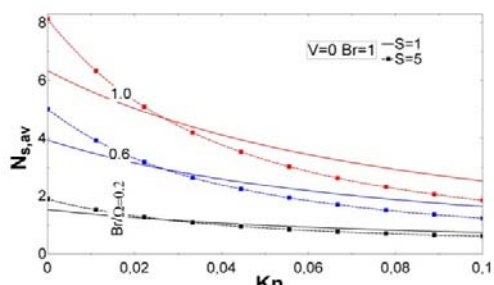
آنتروپی در ارتفاع کanal از یک مقدار کمینه در ناحیه‌ای که سرعت سیال بیشینه می‌باشد تا رسیدن به بیشترین مقدار خود در مجاورت دیواره‌های کanal که بیشترین گرادیان سرعت و دما در آنجا اتفاق می‌افتد، افزایش می‌یابد.

پروفیل توزیع تولید آنتروپی در ارتفاع کanal در وضعیت‌های مختلف صفحه بالای کanal، متفاوت است. در حالت  $1 = \bar{V}$  با توجه به مقارن بودن گرادیان سرعت روی دیواره‌ها پروفیل تولید آنتروپی نسبت به مرکز کanal متقارن است. در حالت  $1 = \bar{V}$  به دلیل هم‌جهت بودن جریان سیال و صفحه بالای کanal گرادیان سرعت کمتری در این ناحیه اتفاق می‌افتد و درنتیجه آن بیشترین مقدار تولید آنتروپی مربوط به صفحه پایینی کanal می‌باشد. در حالی‌که، در حالت  $-1 = \bar{V}$  به علت غیر هم‌جهت بودن جریان سیال و صفحه بالای کanal گرادیان سرعت بیشتری در این ناحیه اتفاق می‌افتد، بنابراین بیشترین مقدار آنتروپی در مجاورت صفحه بالای کanal تولید می‌شود.

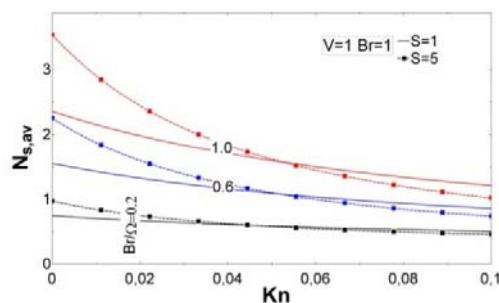
برای بررسی این نکته که چه سهمی از تولید آنتروپی ناشی از انتقال حرارت و چه سهمی از آن ناشی از اصطکاک جریان سیال می‌باشد، می‌توان توزیع عدد بیجان در ارتفاع کanal را تحلیل کرد. اثربازیری پروفیل عدد بیجان از نسبت  $\Omega/\Omega$  در مقادیر مختلف عدد نادسن و پارامتر شکل محیط متخلخل در شکل‌های ۱۴-۱۹ آورده شده است. در هر سه حالت صفحه بالایی کanal، با کاهش نسبت  $\Omega/\Omega$  و افزایش  $S$  و  $Kn$  عدد بیجان افزایش می‌یابد. در اثر وجود اتفاق ناشی از لزجت سیال با افزایش نسبت  $\Omega/\Omega$  تولید آنتروپی ناشی از اصطکاک جریان سیال افزایش یافته، بنابراین عدد بیجان کاهش می‌یابد. در حالی‌که با افزایش  $Kn$  به علت کاهش اصطکاک جریان سیال، تولید آنتروپی ناشی از اصطکاک کاهش یافته و درنتیجه عدد بیجان افزایش می‌یابد. همان‌طور که قبلًا نیز بیان شده افزایش  $S$  موجب ایجاد یک لایه نازک در مجاورت دیواره‌های کanal شده که گرادیان سرعت و دما با شبیه زیاد در آنجا اتفاق می‌افتد. این امر باعث می‌شود که تولید آنتروپی ناشی از انتقال حرارت سهم بیشتری از تولید آنتروپی را به خود اختصاص دهد و عدد بیجان افزایش یابد. زمانی که عدد بیجان صفر شود، کل بازگشت‌ناپذیری ناشی از اصطکاک جریان سیال است. توزیع



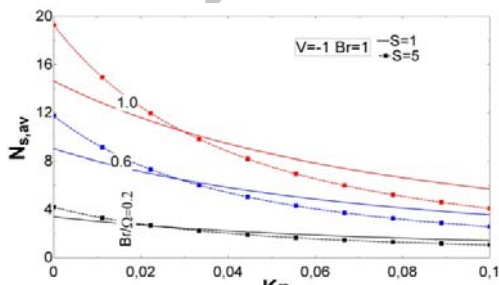
شکل (۱۹): عدد بیجان بر حسب  $\gamma$  در  $Br/\Omega$ ,  $Kn$  مختلف .  $S = 5$ ,  $Br = 1$ ,  $\bar{V} = -1$  و



شکل (۲۰): عدد تولید آنتروپی متوسط بر حسب  $Kn$  در .  $Br = 1$ ,  $\bar{V} = 0$   $Br/\Omega$ ,  $S$

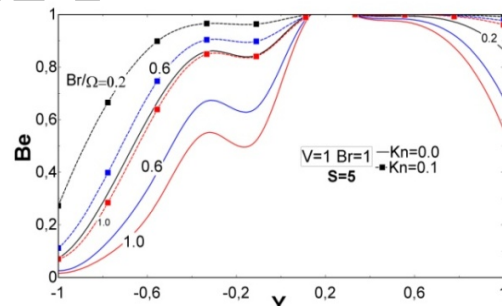


شکل (۲۱): عدد تولید آنتروپی متوسط بر حسب  $Kn$  در .  $Br = 1$ ,  $\bar{V} = 1$   $Br/\Omega$ ,  $S$

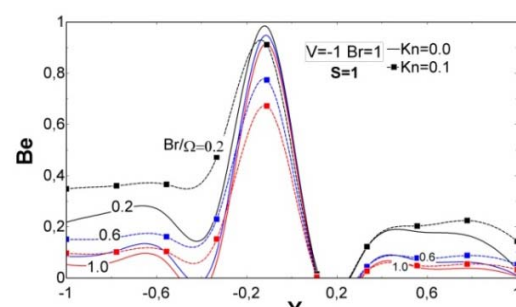


شکل (۲۲): عدد تولید آنتروپی متوسط بر حسب  $Kn$  در .  $Br = 1$ ,  $\bar{V} = -1$   $Br/\Omega$ ,  $S$

تغییرات عدد تولید آنتروپی متوسط بر حسب عدد نادسن در مقادیر مختلف نسبت  $Br/\Omega$  و  $S$  در شکل های ۲۰-۲۲ آورده شده است. با توجه به منحنی های عدد تولید آنتروپی متوسط مشاهده شد، که در هر سه حالت صفحه بالایی کاتال با افزایش نسبت  $Br/\Omega$  آنتروپی متوسط افزایش می یابد. در هر سه وضعیت مقداری از عدد نادسن ( $Kn$ ) وجود دارد که در آن آنتروپی متوسط مستقل از پارامتر شکل محیط متخلخل می باشد، برای  $Kn$  کوچک تر از این مقدار با افزایش  $S$  آنتروپی متوسط کاهش می یابد. تغییر مقدار با افزایش  $S$  آنتروپی متوسط کاهش می یابد. عدد نادسن نقش شرایط مرزی لغزشی و پرش دما را نشان می دهد. با توجه به نتایج بدست آمده در حالت کلی، با افزایش عدد نادسن، عدد تولید آنتروپی، عدد تولید آنتروپی متوسط و درنتیجه بازگشت ناپذیری کاهش و عدد بیجان افزایش می یابد.



شکل (۱۷): عدد بیجان بر حسب  $\gamma$  در  $Br/\Omega$ ,  $Kn$  مختلف .  $S = 5$ ,  $Br = 1$ ,  $\bar{V} = 1$  و



شکل (۱۸): عدد بیجان بر حسب  $\gamma$  در  $Br/\Omega$ ,  $Kn$  مختلف .  $S = 1$ ,  $Br = 1$ ,  $\bar{V} = -1$  و

### مراجع

1. Vafai, K. "Handbook of Porous Media", Taylor and Francis, Boca Raton, 2005.
2. Nield, D.A. and Kuznetsov, A.V. "Forced Convection with Slip-Flow in a Channel or Duct Occupied by a Hyper-Porous Medium Saturated by a Rarefied Gas", *Transport in Porous Media*, Vol. 64, No. 2, pp. 161–170, 2006.
3. Hooman, K. "Heat and Fluid Flow in a Rectangular Microchannel Filled with a Porous Medium", *Int. J. Heat and Mass Transfer*, Vol. 51, No's. 25-26, pp. 5804-5810, 2008.
4. Hashemi, S.M.H., Fazeli, S.A., and Shokouhmand, H. "Fully Developed Non-Darcian Forced Convection Slip Flow in a Micro Annulus Filled with a Porous Medium", *Energy Conversion and Management*, Vol. 52, No. 2, pp. 1054–1060, 2010.
5. Hooman, K. "A Perturbation Solution for Forced Convection in a Porous-Saturated Duct", *J. Computational and Applied Mathematics*, Vol. 211, No. 1, pp. 57 – 66, 2008.
6. Mahmud, Sh. and Fraser, R.A. "The Second Law Analysis in Fundamental Convective Heat Transfer Problems", *Int. J. Thermal Sciences*, Vol. 42, No. 2, pp. 177–186, 2003.
7. Yari, M. "Entropy Generation Analysis for Couette–Poiseuille Flow Through Parallel-Plates Microchannel", *Int. J. Exergy*, Vol. 6, No. 6, pp. 809-825, 2009.
8. Mahmud, Sh. and Fraser, R.A. "Flow, Thermal, and Entropy Generation Characteristics Inside a Porous Channel with Viscous Dissipation", *Int. J. Thermal Sci.*, Vol. 44, No. 1, pp. 21–32, 2005.
9. Nield, D.A., Kuznetsov, A.V., and Xiong "Thermally Developing Forced Convection in a Porous Medium: Parallel Plate Channel with Walls at Uniform Temperature, with Axial Conduction and Viscous Dissipation Effects", *Int. J. Heat and Mass Transfer*, Vol. 46, No. 4, pp. 643–651, 2003.
10. Hooman, K. "Entropy Generation for Microscale Forced Convection Effects of Different Thermal Boundary Conditions, Velocity Slip, Temperature Jump, Viscous Dissipation, and Duct Geometry", *Int. Communications in Heat and Mass Transfer*, Vol. 34, No. 8, pp. 945–957, 2007.

### ۴- نتیجه‌گیری

در کار حاضر، یک جریان کوئت-پوازیه بین دو صفحه موازی حاوی محیط متخلخل از نظر قانون اول و دوم مورد بررسی قرار گرفته است. معادله مومنت با استفاده از پارامتر شکل محیط متخلخل و شرط مرزی لغزش و معادله انرژی با درنظر گرفتن شرط مرزی پرش دمایی و اتلاف لزجتی سیال به کمک روش تحلیلی در سه حالت مختلف صفحه بالایی کanal (  $\bar{V} = -1$  و  $\bar{V} = 0$  و  $\bar{V} = 1$  ) حل شده است. در تحلیل هیدرودینامیکی و قانون اول عبارت‌های صریحی برای توزیع سرعت و دما به دست آمده و عدد ناسلت با استفاده از روش انتگرال‌گیری عددی تعیین شده است. در همه مقادیر  $\bar{V}$  و  $S$  با افزایش  $Br$  عدد ناسلت افزایش می‌یابد. در دو حالت  $\bar{V} = 0$  به ازای مقادیر مختلف  $S$  با افزایش عدد ناسلن، عدد ناسلت کاهش می‌یابد. افزایش  $S$  نیز باعث کاهش عدد ناسلت می‌شود. در حالت  $\bar{V} = -1$  به ازای مقادیر مختلف  $S$  و در  $Br$  بزرگ، مقدار بهینه‌ای برای عدد ناسلن وجود دارد که در آن عدد ناسلت بیشینه است، در این حالت، با افزایش  $S$  عدد ناسلت نیز افزایش می‌یابد. در تحلیل قانون دوم با تعریف عدد بدون بعد تولید آنتروپی و عدد بیجان، سهم انتقال حرارت و اصطکاک جریان سیال در تولید آنتروپی مورد مطالعه قرار گرفته است. در هر سه حالت صفحه بالایی کanal با افزایش نسبت  $Br/\Omega$  و  $S$  عدد بی بعد تولید آنتروپی افزایش و عدد بیجان کاهش می‌یابد. پروفیل توزیع تولید آنتروپی در ارتفاع کanal به حالت صفحه بالای کanal وابسته است. در هر سه حالت صفحه بالایی کanal، با افزایش نسبت  $Br/\Omega$  عدد تولید آنتروپی متوسط افزایش می‌یابد و در هر حالت مقداری از عدد ناسلن وجود دارد که در آن عدد تولید آنتروپی متوسط مستقل از  $S$  می‌باشد.